

日本鉄道建設公団東京新幹線建設局 正員 小林素一

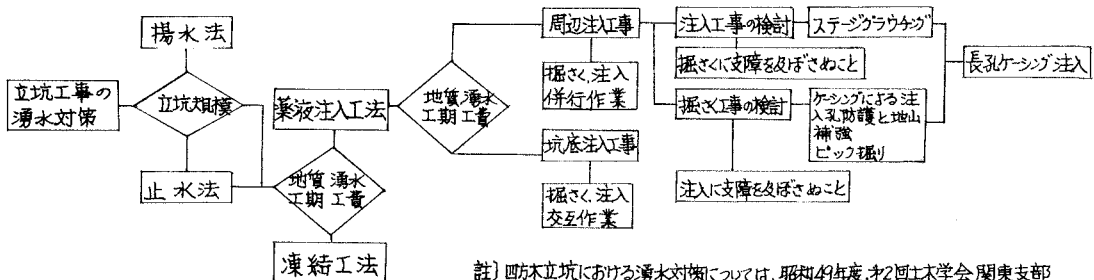
1.はじめに

上越新幹線中山トンネル工事は、主に固結度の低い火山泥流より構成される地盤内を掘り進んでいるが、この泥流中の粗粒部分は、帶水層となっており、土被りの厚い地区においては、地下水位が高い位置にあるため、工事の進捗には、膨大に被圧された地下水の処置が問題となっている。今回はその中で、四方木立坑において実施された立坑の特徴を生かした長孔注入工事について報告するものである。

2.工事に伴なう湧水対策

四方木立坑は、全長372mの作業用立坑としては、前例の少ない長大立坑工事であるが、掘さくに際しては、工事対象地盤の大半が岩とは程遠い固結度の低い中に、地下水が膨大に被圧されているため、地山自身の自立性が低く、周辺部の止水と地盤補強が要求され、湧水処理が工事工程にひじょうに大きな影響を及ぼしていた。工事は、地下水に遭遇以来、坑壁注入を実施してきたが、表-1のような検討結果から、工事の後半は、最終的には、立坑周辺部からの止水、補強注入工事を先行しながら、立坑掘進を行おうとするケーシング注入方式による立坑周辺注入工事を実施することとし、周辺からの注入不足が判定された場合においては、坑底からの補助注入を実施することとした。

表-1 立坑工事の湧水対策の検討について

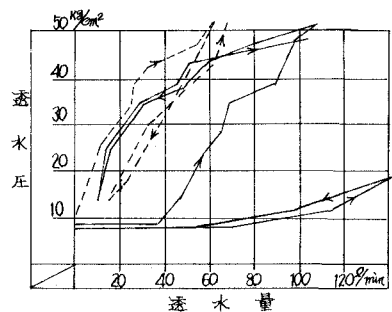
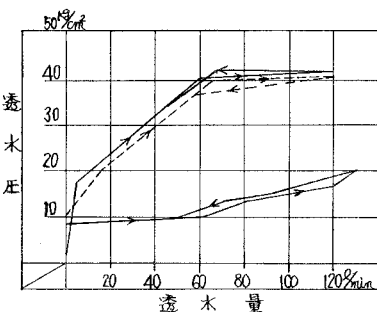


〔註〕四方木立坑における湧水対策については、昭和49年度、第2回土木学会関東支部講演会にて報告しておりますので、参照していただきたい。

3.ケーシング注入方式による周辺注入工事の施工結果

工事は、図-1の透水試験結果に示すように、注入対象地盤が不均質であることが予想され、地下水は膨大に被圧されているため、土粒子間隙に入っているある木頭を持った水をしげり出しながら注入しなければならぬため、各回の注入状況の傾向は、図-2に示すように、高圧の注入圧、及び時間当たり注入量の制限の基で、浸透性の良い注入材料が要求された。このような状況

下における長孔ケーシング注入を実施するにあたっては、注入材料、注入方法、注入機器においても、表2に示すような検討結果にいたった。



高圧2液注入を効果的に実施するに、岩盤注入においてエキスパンションラバーパッカーが多く用いられているが、今回の長孔注入を確実に実施するには、注入材料を、注入管内において可能な限り単液のまま搬送し、パッカー先端部にて混合させる2重管式2シット方式注入管及びパッカーの開発を行い導入し、又グラウトポンプにおいても、高圧、低吐出量、2液の混合比率の管理が可能なポンプを用いることにした。

このような結果に基づき、工事は実施されたが、実施状況の詳細は、図-3に示すとおりである。

表-2 注入方法の検討について

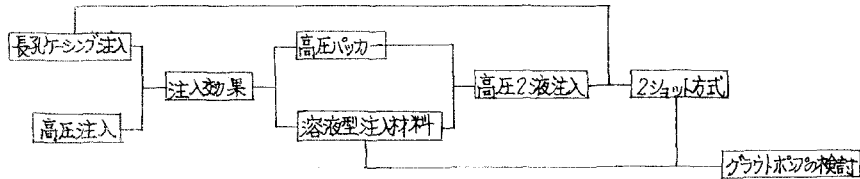
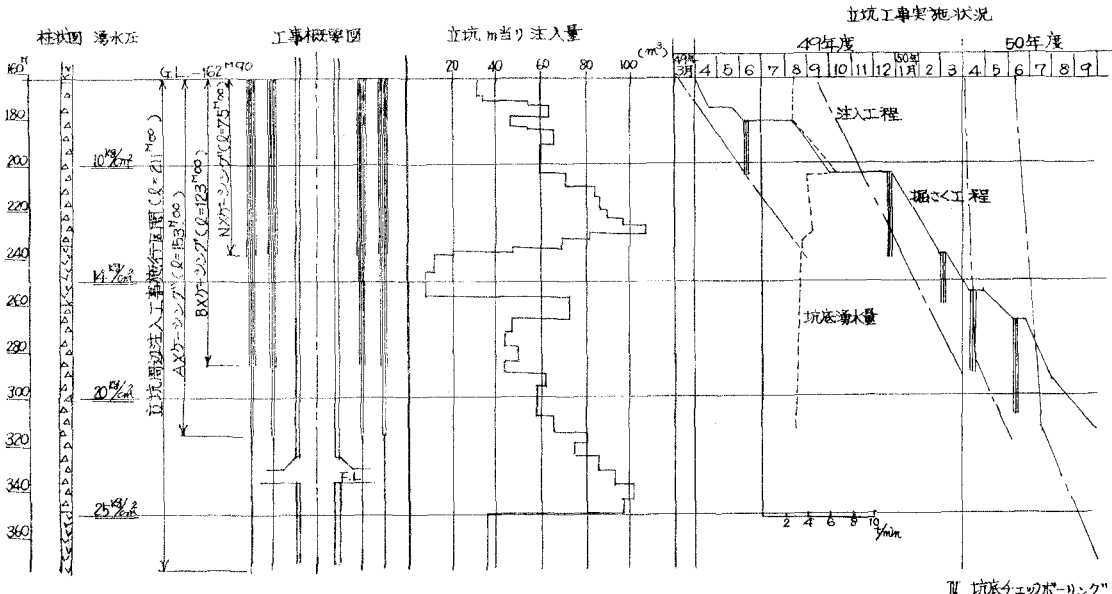


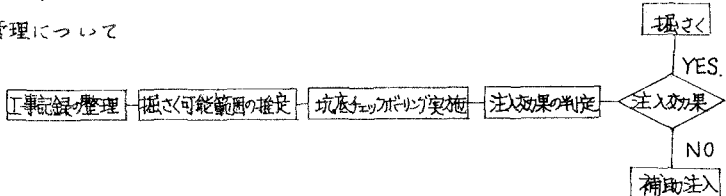
図-3 立坑周辺注入工事(ケーシング注入方式による)実施状況について



4. 注入効果の判定と湧水量の想定について

止水、掘進の並行作業の実施にあたっては、表-3に示すようにして行ったが

表-3 工事の管理について



この場合において、坑底チェックボーリングの本数、長さ、及び施工結果からの掘さく時の湧水量の想定が重要ななるが、これらについては次のような検討を行い実施した。

4-1 坑底チェックボーリング施工時の湧水量の処理法に対する一指針

坑底から、同一条件で穿孔した注入孔の集団において、
 ハ)湧水量の分布は正規分布する。
 イ)確率的に少ないと
 考える範囲を5%とする。
 ハ)平均湧水量とその標準偏差には比例関係がある。 $\sigma = K \bar{Q}$ (K : 標準偏差、 \bar{Q} : 平均湧水量)
 という仮定に基づき検討すると、仮定ハ)より、正規分布と仮定できれば本のチェックボーリングを実施した時の標準偏差は、 $\sigma_n = Q_{\text{av}} / \sqrt{n}$ で表わすことができる。

又、仮定ハ)より確率的に通常おこる範囲を5%と仮定できるの

$$\bar{Q}_{\text{av}} - 1.65 \sigma_n \leq \bar{Q}_n \leq \bar{Q}_{\text{av}} + 1.65 \sigma_n$$

$$\text{従って } \bar{Q}_{\text{av}} - 1.65 \frac{\sigma_{\text{av}}}{\sqrt{n}} \leq \bar{Q}_n \leq \bar{Q}_{\text{av}} + 1.65 \frac{\sigma_{\text{av}}}{\sqrt{n}}$$

仮定ハ)より

$$\begin{aligned} \bar{Q}_{\text{av}}(1 - 1.65 \frac{K}{\sqrt{n}}) &\leq \bar{Q}_n \leq \bar{Q}_{\text{av}}(1 + 1.65 \frac{K}{\sqrt{n}}) \\ \frac{\bar{Q}_n}{1 + 1.65 \frac{K}{\sqrt{n}}} &\leq \bar{Q}_{\text{av}} \leq \frac{\bar{Q}_n}{1 - 1.65 \frac{K}{\sqrt{n}}} \end{aligned}$$

この \bar{Q}_{av} がチェックボーリングで求めたい湧水量であるが、仮定ハ)の関係は、実績から $K=1$ とみることができるので

$$\frac{\bar{Q}_n}{1 + \frac{1.65}{\sqrt{n}}} \leq \bar{Q}_{\text{av}} \leq \frac{\bar{Q}_n}{1 - \frac{1.65}{\sqrt{n}}}$$

$$K_1 = \frac{1}{1 + \frac{1.65}{\sqrt{n}}} \quad K_2 = \frac{1}{1 - \frac{1.65}{\sqrt{n}}} \quad \text{とすると}$$

$$K_1 \bar{Q}_n \leq \bar{Q}_{\text{av}} \leq K_2 \bar{Q}_n \text{ となる。}$$

この結果は、図-4のとおりとなるが、 n が増加するほどに K_1, K_2 は1に収束することが解る。この結果から判断すると、
 ハ) $n \leq 2$ の場合は、 \bar{Q}_{av} の平均値 \bar{Q}_{av} はほとんど意味を持たない。

イ) $n \geq 8$ の場合は、 $K_1, K_2, \bar{Q}_{\text{av}}$ の変化は少なくなる。

のことより、坑底からのチェックボーリングの実施は、掘さく可能範囲区間に於いて8孔行うこととした。

4-2 掘さく時の湧水量の想定について

注入工事を実施した場合 最終注入孔、チェック孔の湧水量と、掘さく時の坑底湧水量の間には、四方木立坑の実績として、

掘さく時坑底湧水量 = 最終注入孔湧水量 × 10倍～～チェックボーリング孔湧水量 × 25倍

と提示されているが、現在の地山性状、施工法に限定した条件で、若干の水理学的解析を行ふ、坑底湧水量の推定式を求めてみたが

ハ)注入改良前の地山は、水平方向に均一である。

ハ)坑底附近の地山の自然水位は、ボーリング孔の最大

イ)地山からの湧水状況から判断して、注入改良前の地

水圧の水頭に等しい。

水平方向の透水係数は、垂直方向の透水係数より
 10倍と仮定する。(10倍と仮定する)

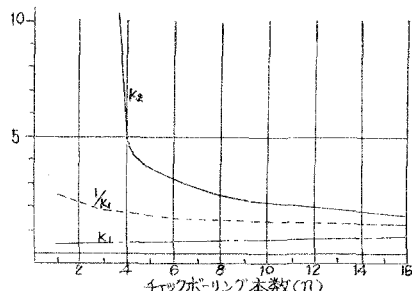
⇒ 立坑湧水、孔内湧水に時間的変化はない。即ち定常
 状態を対象とする。

という仮定条件を基に、トンネルからの湧水の推定に好結果を得ている透水係数の推定方式の、JFTT試験(米陸運水路実験部の式)を用いると、透水係数は①式で表わされる。

$$K_H = Q_b \frac{\ln \left[\frac{2mH}{r} + \sqrt{1 + \left(\frac{2mH}{r} \right)^2} \right]}{2\pi H H_0} \quad \dots \dots \dots \quad ①$$

但し Q_b : チェックボーリング1本の標準偏差
 σ_{av} : 無数にボーリングした場合の標準偏差
 n : チェックボーリングの本数
 \bar{Q}_{av} : チェックボーリング1本の平均湧水量
 \bar{Q}_{av} : 無数にボーリングした場合の平均湧水量

図-4.



但し、 $m = k_v/k_h$ k_v, k_h : 地山の垂直、水平方向の透水係数

H_0 : 坑底までの地下水頭

r : 坑底ボーリング孔径

H : 坑底ボーリング孔長

Q_b : 坑底ボーリング孔からの湧水量

立坑湧水量の推定にあたっては、注入工で改良した地山の内部を掘さくすることを対象としていることから、湧水は、カバーロック下面より上部の地山湧水を対象から除き、湧水は水平流のみ考へると、図-5から

$$\Delta Q = K \cdot i \cdot \Delta S \quad \text{---(2)}$$

$$\left. \begin{aligned} \Delta S &= dx \cdot \pi \cdot (D + L) \quad \text{---(3)} \\ i &= (H_0 + x) / L \quad \text{---(4)} \end{aligned} \right\} \Delta Q = K \cdot \pi \cdot (1 + \frac{D}{L}) (H_0 + x) dx \quad \text{---(5)}$$

カバーロック下面より H_m 挖さくした時の全湧水量 Q は、

$$Q = \int_{x=0}^{x=H} K \cdot \pi \cdot (1 + \frac{D}{L}) (H_0 + x) dx$$

$$= K \cdot \pi \cdot H \cdot H_0 \cdot (1 + \frac{D}{L}) \left(1 + \frac{1}{2} \cdot \frac{H}{H_0} \right) \quad \text{---(6)}$$

以上より、ボーリング孔の湧水量 Q_b 、立坑湧水量 Q_s とする

1、6 式より

$$Q_s = K \cdot \pi \cdot H \cdot H_0 \cdot (1 + \frac{D}{L}) \left(1 + \frac{1}{2} \cdot \frac{H}{H_0} \right) = \frac{1}{2} \ln \left(\frac{2mH}{r} + \sqrt{1 + (2mH)^2} \right) (1 + \frac{D}{L}) \left(1 + \frac{1}{2} \cdot \frac{H}{H_0} \right) Q_b \quad \text{となる。}$$

上記推定式に基づき、四方木立坑において設計された注入工事における関係式は、 $Q_s = (6 \sim 13) \times Q_b$ となり、実績のそれとは、 $1/4 \sim 1/2$ と違っている。この原因としては、掘さく時に生ずる注入改良範囲の乱れ、ゆるみによる透水係数の変化、注入改良範囲の仮定が大きく左右していると思われた。

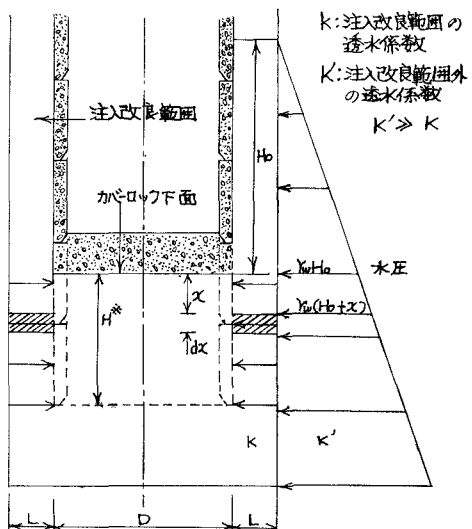
工事は、以上のような検討資料を基に、掘さく時の湧水量の想定することにより、今後の立坑掘進が可能かどうか判定の上、実施してきたが、チェックボーリング実施時においては、湧水圧を測定することも重要なチェックポイントであった。

5. あとがき

このようにして、地質的に悪されない被圧地下水下における長大立坑は、各々の湧水処理法により、工期的にはかなりの遅れを生じているが、最近においては、湧水によるトラブル（異状出水、周壁部の崩壊）もなく、工事の終盤を迎えているが、地盤が岩とは程遠い固結度の低い中に、地下水が膨大に被圧されているため、地山自身の自立性が低く、立坑掘さくに際しては、周壁部の止水と同時に地盤補強が要求されてきたことから、注入工事の必要性が大きかった。この中で、四方木立坑において実施された立坑周辺注入工事の実施は、図-3に示すように立坑深度230m以深において、注入工事が、掘さく工事にほとんど影響を及ぼしてはおらず、工事工期は、その間坑底注入を実施するに要する日数だけ短縮できたという事になる。

しかし、このような注入工事としては前例のない施工区間長が210mにも及ぶ長孔注入工事を実施するにあたっては、注入材料、注入機器、及び工事の総合的な施工管理の再検討が数回にわたり行われ、完全に成功したとは断言できないが、立坑工事においては、注入工事と掘さく工事を併行して施工することが可能である。ということと、ケーシングを用いることにより、又ここにおいて新たに開発された2重管式2ショット方式注入管及びパッカーを用いることにより長孔注入工事が可能であることを実証したことは、意義ある工事であったと思う。

図-5 立坑掘さく時の水理条件



註)※: この範囲は、地下水の流路